

УДК 531.39, 517.977

©2012. А.Л. Зуев, Ю.В. Новикова

ОПТИМАЛЬНОЕ УПРАВЛЕНИЕ МОДЕЛЬЮ ПЛАСТИНЫ КИРХГОФА

Рассмотрена математическая модель пластины Кирхгофа с учетом инерции вращения ее поперечного сечения. Для такой модели получена система обыкновенных дифференциальных уравнений, описывающая колебания с конечным числом модальных координат, и решена задача оптимального управления с квадратичным функционалом качества. Также приведены результаты численного интегрирования двухточечной задачи при полученном управлении.

Ключевые слова: *пластина Кирхгофа, собственные формы, задача оптимального управления, принцип максимума.*

Введение. Изучению математических моделей колебаний тонких пластин посвящен ряд работ отечественных и зарубежных авторов. Не претендуя на полноту обзора, выделим работы [1,2]. Одной из наиболее принятых моделей является модель Кирхгофа, которая имеет ряд преимуществ для теоретического исследования по сравнению с теориями пластин Пуассона, Рейсснера и классической теорией пластин.

В работе [3] была рассмотрена модель пластины Кирхгофа, которая шарнирно прикреплена на границе к вращающемуся твердому телу. Для такой механической системы были получены условия управляемости конечномерной модели пластины, а также найдены решения задачи Коши для системы в линейном приближении. При этом предполагалось, что вращательным движением сечения пластины можно пренебречь.

В данной работе рассмотрена уточненная модель пластины Кирхгофа, в которой учитывается момент инерции сечения пластины. Целью работы является решение задачи оптимального управления колебаниями пластины для любого фиксированного числа мод.

1. Модель Кирхгофа с учетом вращательной динамики сечения пластины. Рассмотрим механическую систему (рис. 1), которая состоит из упругой пластины, прикрепленной на границе к вращающемуся твердому телу B . Предположим, что с твердым телом B связана декартова система координат $Ox_1x_2x_3$ [4].

Будем считать, что в состоянии покоя пластина занимает замкнутую область, которая имеет вид $(x_1, x_2) \in \Omega = [0, l_1] \times [0, l_2]$, $|x_3| \leq h/2$, где толщина пластины равна $h > 0$. Предположим, что в каждый момент времени t срединную поверхность пластины можно задать уравнением $x_3 = w(x_1, x_2, t)$.

Работа выполнена при поддержке гранта Президента Украины (№ Ф47/082) и проекта украинско-австрийского сотрудничества (гос. рег. № 0111U007275).

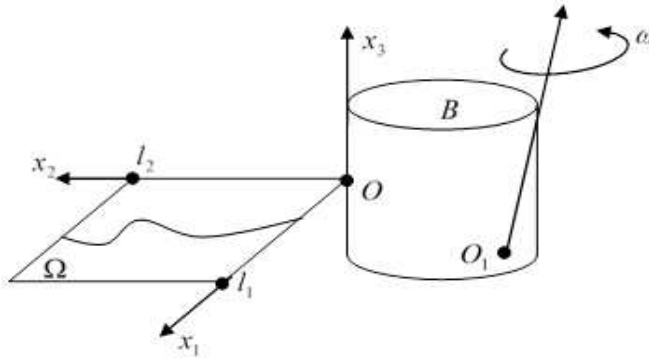


Рис. 1. Твердое тело с упругой пластиной.

Чтобы описать поведение функции $w = w(x_1, x_2, t)$, воспользуемся моделью пластины Кирхгофа с учетом вращательного движения поперечного сечения [2]:

$$\rho h \frac{\partial^2 w(x_1, x_2, t)}{\partial t^2} - I_\rho \Delta \frac{\partial^2 w(x_1, x_2, t)}{\partial t^2} + D \Delta^2 w(x_1, x_2, t) = F, \quad (x_1, x_2) \in \Omega. \quad (1)$$

Здесь $\Delta = \frac{\partial^2}{\partial x_1^2} + \frac{\partial^2}{\partial x_2^2}$ – оператор Лапласа, $\rho > 0$ – плотность (масса на единицу объема), $I_\rho = \frac{\rho h^3}{12}$ – полярный момент инерции поперечного сечения, $D > 0$ – жесткость пластины при изгибе, F – поперечная компонента силы, которая действует на пластину. Будем считать, что пластина шарнирно оперта на границе области Ω , т.е. компоненты вектора перемещения и вектора моментов равны нулю на $\partial\Omega$:

$$w(x_1, x_2, t)|_{\partial\Omega} = 0, \quad (2)$$

$$\left. \frac{\partial^2 w(x_1, x_2, t)}{\partial x_1^2} + \nu \frac{\partial^2 w(x_1, x_2, t)}{\partial x_2^2} \right|_{x_1=0, x_1=l_1} = 0, \quad (3)$$

$$\left. \frac{\partial^2 w(x_1, x_2, t)}{\partial x_2^2} + \nu \frac{\partial^2 w(x_1, x_2, t)}{\partial x_1^2} \right|_{x_2=0, x_2=l_2} = 0, \quad (4)$$

где ν – коэффициент Пуассона.

Модель пластины Кирхгофа с $I_\rho = 0$ рассматривалась в работе [3].

Функция F в правой части уравнения (1) соответствует предположениям, сделанным в работе [3], т.е. полагаем

$$F = -\rho h [(x_1 - a_1)(\omega_1 \omega_3 - \dot{\omega}_2) + (x_2 - a_2)(\omega_2 \omega_3 + \dot{\omega}_1) + (\omega_1^2 + \omega_2^2)(a_3 - w(x_1, x_2, t)) + \ddot{w}(x_1, x_2, t)]. \quad (5)$$

Здесь F – сила инерции, действующая на пластину, которая обусловлена переносным движением твердого тела с угловой скоростью $\omega = (\omega_1, \omega_2, \omega_3)$; (a_1, a_2, a_3) – координаты точки O_1 в системе координат $Ox_1x_2x_3$.

Перепишем уравнение (1) с учетом (5) следующим образом:

$$\begin{aligned} \frac{\partial^2 w(x_1, x_2, t)}{\partial t^2} - \frac{h^2}{24} \Delta \frac{\partial^2 w(x_1, x_2, t)}{\partial t^2} + \alpha^2 \Delta^2 w(x_1, x_2, t) = \\ = -\frac{1}{2} [(x_1 - a_1)(\omega_1 \omega_3 - \dot{\omega}_2) + (x_2 - a_2)(\omega_2 \omega_3 + \dot{\omega}_1) + \\ + (\omega_1^2 + \omega_2^2)(a_3 - w(x_1, x_2, t))] = f(x_1, x_2, t), \end{aligned} \quad (6)$$

где $\alpha^2 = \frac{D}{2\rho h} > 0$.

Таким образом, получена модель (6), (2)–(4) колебаний механической системы, которая состоит из твердого тела и упругой пластины, шарнирно опертой на границе области Ω .

Для решения однородной краевой задачи (6), (2)–(4) методом Фурье подставим

$$w(x_1, x_2, t) = X(x)q(t), \quad x = (x_1, x_2)$$

в задачу (6), (2)–(4) с $f = 0$ и разделим переменные. В результате получим

$$\frac{\ddot{q}}{q} = -\frac{\alpha^2 \Delta^2 X}{X - \frac{h^2}{24} \Delta X} = -\lambda = \text{const.}$$

Рассмотрим уравнение

$$\alpha^2 \Delta^2 X = \lambda(X - \frac{h^2}{24} \Delta X). \quad (7)$$

Предположим, что $X(x_1, x_2) = X_1(x_1)X_2(x_2)$ и обозначим

$$\frac{X_1''}{X_1} = \mu_1, \quad \frac{X_2''}{X_2} = \mu_2, \quad \mu = \mu_1 + \mu_2.$$

Тогда $\Delta X = (\mu_1 + \mu_2)X_1X_2 = \mu X$. Подставим последнее выражение в уравнение (7) и получим, что $\lambda = \frac{\alpha^2(\mu_1 + \mu_2)^2}{1 - \frac{h^2}{24}(\mu_1 + \mu_2)}$. В результате уравнение (6) примет вид

$$\ddot{q}(t) + \lambda q(t) = 0,$$

где μ_1 и μ_2 – собственные значения следующих задач Штурма–Лиувилля:

$$\begin{cases} X_1''(x_1) = \mu_1 X_1(x_1), \\ X_1(0) = X_1(l_1) = 0, \end{cases} \quad 0 \leq x_1 \leq l_1, \quad (8)$$

$$\begin{cases} X_2''(x_2) = \mu_2 X_2(x_2), & 0 \leq x_2 \leq l_2. \\ X_2(0) = X_2(l_2) = 0, \end{cases} \quad (9)$$

Известно, что задачи (8) и (9) имеют дискретный спектр: $\mu_1 = \mu_{1k}$, $\mu_2 = \mu_{2j}$ ($k, j \in \mathbb{N}$), где

$$\mu_{1k} = -\left(\frac{\pi k}{l_1}\right)^2, \quad \mu_{2j} = -\left(\frac{\pi j}{l_2}\right)^2. \quad (10)$$

Собственным значениям задач Штурма–Лиувилля (8), (9) соответствуют собственные функции $\{X_{1k}\}_{k=1}^{\infty}$ и $\{X_{2j}\}_{j=1}^{\infty}$. Пронормируем эти функции так, чтобы они образовывали ортонормированные базисы в $L_2(0, l_1)$ и $L_2(0, l_2)$ соответственно:

$$X_{1k}(x_1) = \sqrt{\frac{2}{l_1}} \sin\left(\frac{\pi k x_1}{l_1}\right), \quad X_{2j}(x_2) = \sqrt{\frac{2}{l_2}} \sin\left(\frac{\pi j x_2}{l_2}\right). \quad (11)$$

Решение краевой задачи (6), (2)–(4) будем искать в виде ряда Фурье

$$w(x_1, x_2, t) = \sum_{k,j=1}^{\infty} C_{kj}(t) X_{1k}(x_1) X_{2j}(x_2).$$

Почленно продифференцируем ряд и подставим его в уравнение (6), учитывая, что $X_{1k}'' = \mu_{1k} X_{1k}$, $X_{2j}'' = \mu_{2j} X_{2j}$:

$$\begin{aligned} & \sum_{k,j=1}^{\infty} \ddot{C}_{kj} X_{1k} X_{2j} - \frac{h^2}{24} \sum_{k,j=1}^{\infty} \ddot{C}_{kj} (\mu_{1k} X_{1k} X_{2j} + \mu_{2j} X_{1k} X_{2j}) + \\ & + \alpha^2 \sum_{k,j=1}^{\infty} C_{kj} (\mu_{1k}^2 X_{1k} X_{2j} + 2\mu_{1k} \mu_{2j} X_{1k} X_{2j} + \mu_{2j}^2 X_{1k} X_{2j}) = \\ & = \sum_{k,j=1}^{\infty} f_{kj} X_{1k} X_{2j}. \end{aligned} \quad (12)$$

В результате проведенных преобразований получена бесконечная система обыкновенных дифференциальных уравнений

$$\ddot{C}_{kj} + \lambda_{kj} C_{kj} = f_{kj}, \quad \lambda_{kj} = \frac{\alpha^2 (\mu_{1k} + \mu_{2j})^2}{1 - \frac{h^2}{24} (\mu_{1k} + \mu_{2j})} \quad (k, j) \in \mathbb{N}^2, \quad (13)$$

где f_{kj} – коэффициенты Фурье правой части уравнения (6) относительно

ортонормированной системы $\{X_{1k}(x_1)X_{2j}(x_2)\}_{k,j=1}^{\infty}$ в $L_2(\Omega)$:

$$\begin{aligned}
 f_{kj} &= \frac{2}{\left(1 + \frac{h^2}{24} \left(\frac{(\pi k l_2)^2 + (\pi j l_1)^2}{(l_1 l_2)^2}\right)\right)} \times \sqrt{l_1 l_2} \\
 &\quad \times \int_{\Omega} f(x_1, x_2, t) \sin\left(\frac{\pi k x_1}{l_1}\right) \sin\left(\frac{\pi j x_2}{l_2}\right) dx_1 dx_2 = \\
 &= \frac{\sqrt{l_1 l_2}}{\pi^2 k j \left(1 + \frac{h^2}{24} \left(\frac{(\pi k l_2)^2 + (\pi j l_1)^2}{(l_1 l_2)^2}\right)\right)} \left(\dot{\omega}_1 \left(a_2((-1)^k - 1)((-1)^j - 1) - \right. \right. \\
 &\quad \left. \left. - l_2(-1)^j((-1)^k - 1) \right) + \dot{\omega}_2 \left(l_1(-1)^k((-1)^j - 1) - a_1((-1)^k - 1)((-1)^j - 1) \right) + \right. \\
 &\quad \left. + \omega_1 \omega_3 \left(a_1((-1)^k - 1)((-1)^j - 1) - l_1(-1)^k((-1)^j - 1) \right) + \right. \\
 &\quad \left. + \omega_2 \omega_3 \left(a_2((-1)^k - 1)((-1)^j - 1) - l_2(-1)^j((-1)^k - 1) \right) - \right. \\
 &\quad \left. - a_3(\omega_1^2 + \omega_2^2)((-1)^k - 1)((-1)^j - 1) \right) + \frac{(\omega_1^2 + \omega_2^2)}{\sqrt{l_1 l_2}} C_{kj}(t).
 \end{aligned}$$

Подставим это значение f_{kj} в (13) и запишем полученную систему дифференциальных уравнений с точностью до слагаемых порядка $o(|\omega_k|, |\dot{\omega}_k|, |C_{kj}|, |\dot{C}_{kj}|)$:

$$\ddot{C}_{kj} + C_{kj} \lambda_{kj} = \frac{2 \bar{f}_{kj} \sqrt{l_1 l_2}}{\pi^2 k j \left(1 + \frac{h^2}{24} \left(\frac{(\pi k l_2)^2 + (\pi j l_1)^2}{(l_1 l_2)^2}\right)\right)}, \quad (14)$$

где

$$\bar{f}_{kj} = \begin{cases} 0, & k - \text{четное}, j - \text{четное}, \\ -l_1 \dot{\omega}_2, & k - \text{четное}, j - \text{нечетное}, \\ l_2 \dot{\omega}_1, & k - \text{нечетное}, j - \text{четное}, \\ (l_1 - 2a_1) \dot{\omega}_2 + (2a_2 - l_2) \dot{\omega}_1, & k - \text{нечетное}, j - \text{нечетное}. \end{cases}$$

Для исследования влияния движения тела-носителя B на малые колебания пластины положим $u_1(t) = \dot{\omega}_1(t)$, $u_2(t) = \dot{\omega}_2(t)$ и будем считать $u_1(t)$, $u_2(t)$ управляющими функциями в системе (14):

$$\ddot{C}_{kj} + C_{kj} \lambda_{kj} = \varphi_{kj} u_1(t) + g_{kj} u_2(t), \quad \lambda_{kj} = \frac{\alpha^2 (\mu_{1k} + \mu_{2j})^2}{1 - \frac{h^2}{24} (\mu_{1k} + \mu_{2j})}, \quad (15)$$

где $(k, j) \in \mathbb{N}^2$. Сделаем в системе (15) замену переменных

$$\sqrt{\lambda_{kj}} C_{kj} = \xi_{kj}(t), \quad \dot{C}_{kj}(t) = \eta_{kj}(t), \quad \beta_{kj} = \sqrt{\lambda_{kj}} > 0.$$

В таких переменных система (15) примет вид

$$\dot{x}_{kj} = A_{kj}x_{kj} + B_{kj}u(t), \quad (16)$$

где $x_{kj} = \begin{pmatrix} \xi_{kj} \\ \eta_{kj} \end{pmatrix}$, $A_{kj} = \begin{pmatrix} 0 & \beta_{kj} \\ -\beta_{kj} & 0 \end{pmatrix}$, $B_{kj} = \begin{pmatrix} 0 & 0 \\ \varphi_{kj} & g_{kj} \end{pmatrix}$, $k, j \in \mathbb{N}^2$.

2. Задача оптимального управления. Зафиксируем число $n \geq 1$ и зададим отображение $i \mapsto (k_i, j_i)$, ставящее в соответствие индексу $i \in \{1, n\}$ пару индексов $(k_i, j_i) \in \mathbb{N}^2$. Рассмотрим подсистему системы (16) для значе- ний индексов $k = k_i, j = j_i$ при $i = \overline{1, n}$:

$$\dot{x}_{k_i j_i} = A_{k_i j_i}x_{k_i j_i} + B_{k_i j_i}u(t), \quad i = \overline{1, n}. \quad (17)$$

Для системы (17) рассмотрим следующую задачу оптимального управ- ления. При заданных $\tau > 0$, $x_{k_i j_i}^0, x_{k_i j_i}^1$ необходимо найти управление $u \in L^2(0, \tau)$, доставляющее минимум функционалу

$$J = \int_0^\tau \{u_1^2(t) + u_2^2(t)\} dt \rightarrow \min \quad (18)$$

на решениях $x(t)$ системы (17), которые удовлетворяют краевым условиям

$$x_{k_i j_i}(0) = x_{k_i j_i}^0, \quad x_{k_i j_i}(\tau) = x_{k_i j_i}^1, \quad i = \overline{1, n}. \quad (19)$$

Решим задачу оптимального управления (17)–(19) с помощью принципа максимума Понтрягина [5].

Составим функцию Гамильтона $H(\zeta_0, \zeta, x, u) = \zeta_0(u_1^2 + u_2^2) + \sum_{i=1}^n (p_{k_i j_i} \beta_{k_i j_i} \eta_{k_i j_i} + q_{k_i j_i} (-\beta_{k_i j_i} \xi_{k_i j_i} + \varphi_{k_i j_i} u_1 + g_{k_i j_i} u_2)) = \zeta_0(Qu, u) + \zeta(Ax + Bu)$, где $x = (x_{k_1 j_1}, \dots, x_{k_n j_n})^*$, $Q = \begin{pmatrix} 1 & 0 \\ 0 & 1 \end{pmatrix}$, $A = \text{diag}(A_{k_1 j_1}, \dots, A_{k_n j_n})$, $B = (B_{k_1 j_1}, \dots, B_{k_n j_n})^*$, $\zeta = (p_{k_1 j_1}, q_{k_1 j_1}, \dots, p_{k_n j_n}, p_{k_n j_n})^*$, символом “*” обо- значена операция транспонирования.

Оптимальное управление $u = \hat{u}(t)$ находится из условия максимума га- мильтониана: $\frac{\partial H}{\partial u} = 0$. Тогда $2\zeta_0 Q \hat{u} + \zeta B = 0$, т.е.

$$\hat{u}(t) = -\frac{1}{2\zeta_0} Q^{-1} \zeta(t) B, \quad (20)$$

$$\hat{u}(t) = B^* \tilde{\zeta}^*(t) = \begin{pmatrix} 0 & \varphi_{k_1 j_1} & 0 & \varphi_{k_2 j_2} & \cdots & 0 & \varphi_{k_n j_n} \\ 0 & g_{k_1 j_1} & 0 & g_{k_2 j_2} & \cdots & 0 & g_{k_n j_n} \end{pmatrix} \begin{pmatrix} p_{k_1 j_1} \\ q_{k_1 j_1} \\ p_{k_2 j_2} \\ q_{k_2 j_2} \\ \vdots \\ p_{k_n j_n} \\ q_{k_n j_n} \end{pmatrix} =$$

$$= \begin{pmatrix} \sum_{i=1}^n \varphi_{k_i j_i} q_{k_i j_i} \\ \sum_{i=1}^n g_{k_i j_i} q_{k_i j_i} \end{pmatrix}. \quad (21)$$

Выражение (20) рассматривается на траекториях гамильтоновой системы

$$\dot{x} = \frac{\partial H}{\partial \zeta} \Big|_{u=\hat{u}} = Ax + B\hat{u}(t), \quad \dot{\zeta} = -\frac{\partial H}{\partial x} \Big|_{u=\hat{u}} = -\zeta A. \quad (22)$$

Систему (22) запишем покомпонентно:

$$\dot{p}_{k_i j_i}(t) = \beta_{k_i j_i} q_{k_i j_i}(t), \quad \dot{q}_{k_i j_i}(t) = -\beta_{k_i j_i} p_{k_i j_i}(t), \quad i = \overline{1, n}. \quad (23)$$

Решение этой системы будет иметь вид

$$\begin{cases} p_{k_i j_i}(t) = p_{k_i j_i}^0 \cos(\beta_{k_i j_i}(t)) + q_{k_i j_i}^0 \sin(\beta_{k_i j_i}(t)), \\ q_{k_i j_i}(t) = -p_{k_i j_i}^0 \sin(\beta_{k_i j_i}(t)) + q_{k_i j_i}^0 \cos(\beta_{k_i j_i}(t)). \end{cases} \quad (24)$$

Подставим решение (24) в выражение (21), в результате получим управление

$$\begin{cases} \hat{u}_1(s) = \sum_{i=1}^n \varphi_{k_i j_i} (q_{k_i j_i}^0 \cos(\beta_{k_i j_i} s) - p_{k_i j_i}^0 \sin(\beta_{k_i j_i} s)), \\ \hat{u}_2(s) = \sum_{i=1}^n g_{k_i j_i} (q_{k_i j_i}^0 \cos(\beta_{k_i j_i} s) - p_{k_i j_i}^0 \sin(\beta_{k_i j_i} s)). \end{cases} \quad (25)$$

Найдем константы $p_{k_i j_i}$, $q_{k_i j_i}$, исходя из граничных условий (19). Для этого представим решение $x(t)$ системы (17) с управлением $\hat{u}(t)$ следующим образом:

$$x_{k_l j_l}(t) = e^{tA_{k_l j_l}} x_{k_l j_l}^0 + \int_0^t e^{(t-s)A_{k_l j_l}} B_{k_l j_l} \hat{u}(s) ds, \quad (26)$$

где

$$e^{tA_{k_l j_l}} x_{k_l j_l}^0 = \begin{pmatrix} \cos(\beta_{k_l j_l} t) & \sin(\beta_{k_l j_l} t) \\ -\sin(\beta_{k_l j_l} t) & \cos(\beta_{k_l j_l} t) \end{pmatrix} \begin{pmatrix} \xi_{k_l j_l}^0 \\ \eta_{k_l j_l}^0 \end{pmatrix}.$$

Перепишем выражение (26) в развернутом виде

$$\begin{aligned}
 \xi_{k_l j_l}(t) &= \xi_{k_l j_l}^0 \cos(\beta_{k_l j_l} t) + \eta_{k_l j_l}^0 \sin(\beta_{k_l j_l} t) + \\
 &+ \int_0^t \left(\sum_{i=1}^n \varphi_{k_l j_l} \varphi_{k_i j_i} (q_{k_i j_i}^0 \cos(\beta_{k_i j_i} s) - p_{k_i j_i}^0 \sin(\beta_{k_i j_i} s)) + \right. \\
 &+ \left. g_{k_l j_l} \sum_{i=1}^n g_{k_i j_i} (q_{k_i j_i}^0 \cos(\beta_{k_i j_i} s) - p_{k_i j_i}^0 \sin(\beta_{k_i j_i} s)) \right) \sin(\beta_{k_l j_l} (t - s)) ds, \\
 \eta_{k_l j_l}(t) &= -\xi_{k_l j_l}^0 \sin(\beta_{k_l j_l} t) + \eta_{k_l j_l}^0 \cos(\beta_{k_l j_l} t) + \\
 &+ \int_0^t \left(\sum_{i=1}^n \varphi_{k_l j_l} \varphi_{k_i j_i} (q_{k_i j_i}^0 \cos(\beta_{k_i j_i} s) - p_{k_i j_i}^0 \sin(\beta_{k_i j_i} s)) + \right. \\
 &+ \left. g_{k_l j_l} \sum_{i=1}^n g_{k_i j_i} (q_{k_i j_i}^0 \cos(\beta_{k_i j_i} s) - p_{k_i j_i}^0 \sin(\beta_{k_i j_i} s)) \right) \cos(\beta_{k_l j_l} (t - s)) ds
 \end{aligned} \tag{27}$$

и зададим граничные условия

$$\begin{cases} \xi_{k_l j_l}(\tau) = \xi_{k_l j_l}^1, \\ \eta_{k_l j_l}(\tau) = \eta_{k_l j_l}^1. \end{cases} \tag{28}$$

Вычислим интегралы в выражениях (27) и перепишем соотношение (28) в следующем виде:

$$\begin{aligned}
 &\sum_{i \neq l, i=1}^n q_{k_i j_i}^0 (\varphi_{k_l j_l} \varphi_{k_i j_i} + g_{k_l j_l} g_{k_i j_i}) \beta_{k_l j_l} \frac{\cos(\beta_{k_i j_i} \tau) - \cos(\beta_{k_l j_l} \tau)}{\beta_{k_l j_l}^2 - \beta_{k_i j_i}^2} + \\
 &+ q_{k_l j_l}^0 (\varphi_{k_l j_l}^2 + g_{k_l j_l}^2) \frac{\tau \sin(\beta_{k_l j_l} \tau)}{2} - \sum_{i \neq l, i=1}^n p_{k_i j_i}^0 (\varphi_{k_l j_l} \varphi_{k_i j_i} + g_{k_l j_l} g_{k_i j_i}) \times \\
 &\times \frac{\beta_{k_l j_l} \sin(\beta_{k_i j_i} \tau) - \beta_{k_i j_i} \sin(\beta_{k_l j_l} \tau)}{\beta_{k_l j_l}^2 - \beta_{k_i j_i}^2} - p_{k_l j_l}^0 (\varphi_{k_l j_l}^2 + g_{k_l j_l}^2) \times \\
 &\times \frac{\sin(\beta_{k_l j_l} \tau) - \beta_{k_l j_l} \tau \cos(\beta_{k_l j_l} \tau)}{2\beta_{k_l j_l}} = \xi_{k_l j_l}^1 - \xi_{k_l j_l}^0 \cos(\beta_{k_l j_l} \tau) - \eta_{k_l j_l}^0 \sin(\beta_{k_l j_l} \tau),
 \end{aligned} \tag{29}$$

$$\begin{aligned}
 &\sum_{i \neq l, i=1}^n q_{k_i j_i}^0 (\varphi_{k_l j_l} \varphi_{k_i j_i} + g_{k_l j_l} g_{k_i j_i}) \beta_{k_l j_l} \frac{\sin(\beta_{k_l j_l} \tau) - \beta_{k_i j_i} \sin(\beta_{k_i j_i} \tau)}{\beta_{k_l j_l}^2 - \beta_{k_i j_i}^2} + \\
 &+ q_{k_l j_l}^0 (\varphi_{k_l j_l}^2 + g_{k_l j_l}^2) \frac{\sin(\beta_{k_l j_l} \tau) + \beta_{k_l j_l} \tau \cos(\beta_{k_l j_l} \tau)}{2\beta_{k_l j_l}}
 \end{aligned}$$

$$\begin{aligned}
 & - \sum_{i \neq l, i=1}^n p_{k_{lj}i}^0 (\varphi_{k_{lj}i} \varphi_{k_{ij}i} + g_{k_{lj}i} g_{k_{ij}i}) \frac{\cos(\beta_{k_{ij}i} \tau) - \cos(\beta_{k_{lj}i} \tau)}{\beta_{k_{lj}i}^2 - \beta_{k_{ij}i}^2} \beta_{k_{ij}i} - \\
 & - p_{k_{lj}i}^0 (\varphi_{k_{lj}i}^2 + g_{k_{lj}i}^2) \frac{\tau \sin(\beta_{k_{lj}i} \tau)}{2} = \eta_{k_{lj}i}^1 + \xi_{k_{lj}i}^0 \sin(\beta_{k_{lj}i} \tau) - \eta_{k_{lj}i}^0 \cos(\beta_{k_{lj}i} \tau).
 \end{aligned}$$

Преобразуем систему (29) следующим образом: первое уравнение умножим на $\sin(\beta_{k_{lj}i} \tau)$, а второе – на $\cos(\beta_{k_{lj}i} \tau)$ и сложим их. Аналогично, первое уравнение умножим на $\cos(\beta_{k_{ij}i} \tau)$, а второе – на $\sin(\beta_{k_{ij}i} \tau)$ и вычтем из первого второе. Тогда система (29) примет вид

$$\begin{aligned}
 & q_{k_{lj}i}^0 \frac{\tau}{2} + q_{k_{lj}i}^0 \frac{\sin(2\beta_{k_{lj}i} \tau)}{4\beta_{k_{lj}i}} - p_{k_{lj}i}^0 \frac{\sin^2(\beta_{k_{lj}i} \tau)}{2\beta_{k_{lj}i}} + \sum_{i \neq l, i=1}^n q_{k_{ij}i}^0 \frac{(\varphi_{k_{lj}i} \varphi_{k_{ij}i} + g_{k_{lj}i} g_{k_{ij}i})}{\varphi_{k_{lj}i}^2 + g_{k_{lj}i}^2} \times \\
 & \times \left(\frac{\beta_{k_{lj}i} \sin(\beta_{k_{lj}i} \tau) \cos(\beta_{k_{ij}i} \tau) - \beta_{k_{ij}i} \cos(\beta_{k_{lj}i} \tau) \sin(\beta_{k_{ij}i} \tau)}{\beta_{k_{lj}i}^2 - \beta_{k_{ij}i}^2} \right) - \\
 & - \sum_{i \neq l, i=1}^n p_{k_{ij}i}^0 \frac{(\varphi_{k_{lj}i} \varphi_{k_{ij}i} + g_{k_{lj}i} g_{k_{ij}i})}{g_{k_{ij}i}} \varphi_{k_{ij}i}^2 + \\
 & + g_{k_{ij}i}^2 \left(\frac{\beta_{k_{lj}i} \sin(\beta_{k_{lj}i} \tau) \sin(\beta_{k_{ij}i} \tau) + \beta_{k_{ij}i} \cos(\beta_{k_{lj}i} \tau) \cos(\beta_{k_{ij}i} \tau) - \beta_{k_{ij}i}}{\beta_{k_{lj}i}^2 - \beta_{k_{ij}i}^2} \right) = \\
 & = \frac{\xi_{k_{lj}i}^1 \sin(\beta_{k_{lj}i} \tau) + \eta_{k_{lj}i}^1 \cos(\beta_{k_{lj}i} \tau) - \eta_{k_{lj}i}^0}{\varphi_{k_{lj}i}^2 + g_{k_{lj}i}^2}, \\
 & p_{k_{lj}i}^0 \frac{\tau}{2} - p_{k_{lj}i}^0 \frac{\sin(2\beta_{k_{lj}i} \tau)}{4\beta_{k_{lj}i}} - q_{k_{lj}i}^0 \frac{\sin^2(\beta_{k_{lj}i} \tau)}{2\beta_{k_{lj}i}} + \sum_{i \neq l, i=1}^n q_{k_{ij}i}^0 \frac{(\varphi_{k_{lj}i} \varphi_{k_{ij}i} + g_{k_{lj}i} g_{k_{ij}i})}{\varphi_{k_{lj}i}^2 + g_{k_{lj}i}^2} \times \\
 & \times \left(\frac{\beta_{k_{lj}i} \cos(\beta_{k_{lj}i} \tau) \cos(\beta_{k_{ij}i} \tau) + \beta_{k_{ij}i} \sin(\beta_{k_{lj}i} \tau) \sin(\beta_{k_{ij}i} \tau) - \beta_{k_{lj}i}}{\beta_{k_{lj}i}^2 - \beta_{k_{ij}i}^2} \right) - \\
 & - \sum_{i \neq l, i=1}^n p_{k_{ij}i}^0 \frac{(\varphi_{k_{lj}i} \varphi_{k_{ij}i} + g_{k_{lj}i} g_{k_{ij}i})}{\varphi_{k_{lj}i}^2 + g_{k_{lj}i}^2} \times \\
 & \times \left(\frac{\beta_{k_{lj}i} \cos(\beta_{k_{lj}i} \tau) \sin(\beta_{k_{ij}i} \tau) - \beta_{k_{ij}i} \cos(\beta_{k_{ij}i} \tau) \sin(\beta_{k_{lj}i} \tau)}{\beta_{k_{lj}i}^2 - \beta_{k_{ij}i}^2} \right) = \\
 & = \frac{\xi_{k_{lj}i}^1 \cos(\beta_{k_{lj}i} \tau) - \eta_{k_{lj}i}^1 \sin(\beta_{k_{lj}i} \tau) - \xi_{k_{lj}i}^0}{\varphi_{k_{lj}i}^2 + g_{k_{lj}i}^2}.
 \end{aligned}$$

Перепишем полученную систему линейных алгебраических уравнений в

матричном виде:

$$(M + F) \begin{pmatrix} q_{k_1 j_1}^0 \\ p_{k_1 j_1}^0 \\ \vdots \\ q_{k_n j_n}^0 \\ p_{k_n j_n}^0 \end{pmatrix} = P, \quad (30)$$

где

$$M = \begin{pmatrix} \frac{\tau}{2} & 0 & \dots & 0 \\ 0 & \frac{\tau}{2} & \dots & 0 \\ \vdots & \vdots & \ddots & \vdots \\ 0 & 0 & \dots & \frac{\tau}{2} \end{pmatrix}, F = \begin{pmatrix} F_{11} & F_{12} & \dots & F_{1n} \\ F_{21} & F_{22} & \dots & F_{2n} \\ \vdots & \vdots & \ddots & \vdots \\ F_{n1} & F_{n2} & \dots & F_{nn} \end{pmatrix},$$

$$F_{li} = \begin{pmatrix} \frac{\sin(2\beta_{k_l j_l} \tau)}{4\beta_{k_l j_l}} & -\frac{\sin^2(\beta_{k_l j_l} \tau)}{2\beta_{k_l j_l}} \\ -\frac{\sin^2(\beta_{k_l j_l} \tau)}{2\beta_{k_l j_l}} & \frac{\sin(2\beta_{k_l j_l} \tau)}{4\beta_{k_l j_l}} \end{pmatrix},$$

$$F_{li} = \frac{\varphi_{k_l j_l} \varphi_{k_i j_i} + g_{k_l j_l} g_{k_i j_i}}{(\varphi_{k_l j_l}^2 + g_{k_l j_l}^2)(\beta_{k_l j_l}^2 - \beta_{k_i j_i}^2)} \begin{pmatrix} F_{li}^{11} & F_{li}^{12} \\ F_{li}^{21} & F_{li}^{22} \end{pmatrix},$$

$$F_{li}^{11} = \beta_{k_l j_l} \sin(\beta_{k_l j_l} \tau) \cos(\beta_{k_i j_i} \tau) - \beta_{k_i j_i} \cos(\beta_{k_l j_l} \tau) \sin(\beta_{k_i j_i} \tau),$$

$$F_{li}^{12} = -(\beta_{k_l j_l} \sin(\beta_{k_l j_l} \tau) \sin(\beta_{k_i j_i} \tau) + \beta_{k_i j_i} \cos(\beta_{k_l j_l} \tau) \cos(\beta_{k_i j_i} \tau) - \beta_{k_l j_l}),$$

$$F_{li}^{21} = \beta_{k_l j_l} \cos(\beta_{k_l j_l} \tau) \cos(\beta_{k_i j_i} \tau) + \beta_{k_i j_i} \sin(\beta_{k_l j_l} \tau) \sin(\beta_{k_i j_i} \tau) - \beta_{k_l j_l},$$

$$F_{li}^{22} = -(\beta_{k_l j_l} \cos(\beta_{k_l j_l} \tau) \sin(\beta_{k_i j_i} \tau) - \beta_{k_i j_i} \cos(\beta_{k_i j_i} \tau) \sin(\beta_{k_l j_l} \tau));$$

$$P = \begin{pmatrix} \frac{\xi_{k_1 j_1}^1 \sin(\beta_{k_1 j_1} \tau) + \eta_{k_1 j_1}^1 \cos(\beta_{k_1 j_1} \tau) - \eta_{k_1 j_1}^0}{\varphi_{k_1 j_1}^2 + g_{k_1 j_1}^2} \\ \frac{\xi_{k_1 j_1}^1 \cos(\beta_{k_1 j_1} \tau) - \eta_{k_1 j_1}^1 \sin(\beta_{k_1 j_1} \tau) - \xi_{k_1 j_1}^0}{\varphi_{k_1 j_1}^2 + g_{k_1 j_1}^2} \\ \vdots \\ \frac{\xi_{k_n j_n}^1 \sin(\beta_{k_n j_n} \tau) + \eta_{k_n j_n}^1 \cos(\beta_{k_n j_n} \tau) - \eta_{k_n j_n}^0}{\varphi_{k_n j_n}^2 + g_{k_n j_n}^2} \\ \frac{\xi_{k_n j_n}^1 \cos(\beta_{k_n j_n} \tau) - \eta_{k_n j_n}^1 \sin(\beta_{k_n j_n} \tau) - \xi_{k_n j_n}^0}{\varphi_{k_n j_n}^2 + g_{k_n j_n}^2} \end{pmatrix}.$$

Таким образом, с помощью принципа максимума Понтрягина доказано утверждение

Утверждение 1. Для произвольных $\tau > 0$, $x_{k_i j_i}^0, x_{k_i j_i}^1, (i = \overline{1, n})$ в задаче (17)–(19) существует единственное оптимальное управление, которое задается формулой

$$\begin{cases} \hat{u}_1(s) = \sum_{i=1}^n \varphi_{k_i j_i} (q_{k_i j_i}^0 \cos(\beta_{k_i j_i} s) - p_{k_i j_i}^0 \sin(\beta_{k_i j_i} s)), \\ \hat{u}_2(s) = \sum_{i=1}^n g_{k_i j_i} (q_{k_i j_i}^0 \cos(\beta_{k_i j_i} s) - p_{k_i j_i}^0 \sin(\beta_{k_i j_i} s)), \end{cases}$$

где параметры $p_{k_i j_i}^0, q_{k_i j_i}^0$ находятся из системы линейных алгебраических уравнений (30).

3. Результаты численного моделирования. В качестве примера рассмотрим систему дифференциальных уравнений вида (17) для девяти мод колебаний пластины:

$$\dot{x}_{k_p j_p} = A_{k_p j_p} x_{k_p j_p} + B_{k_p j_p} u(t), \quad p = \overline{1, 9}. \quad (31)$$

Матрицы системы (31) задаются соотношениями

$$x_{k_p j_p} = \begin{pmatrix} \xi_{k_p j_p} \\ \eta_{k_p j_p} \end{pmatrix}, \quad A_{k_p j_p} = \begin{pmatrix} 0 & \beta_{k_p j_p} \\ -\beta_{k_p j_p} & 0 \end{pmatrix}, \quad B_{k_p j_p} = \begin{pmatrix} 0 & 0 \\ \varphi_{k_p j_p} & g_{k_p j_p} \end{pmatrix},$$

$$u(t) = \begin{pmatrix} \hat{u}_1(t) \\ \hat{u}_2(t) \end{pmatrix}, \quad \text{где} \quad \beta_{k_p j_p} = \frac{\alpha \left(\left(\frac{\pi k_p}{l_1} \right)^2 + \left(\frac{\pi j_p}{l_2} \right)^2 \right)}{\sqrt{1 + \frac{h^2}{24} \left(\left(\frac{\pi k_p}{l_1} \right)^2 + \left(\frac{\pi j_p}{l_2} \right)^2 \right)}}$$

$$\varphi_{k_p j_p} = \begin{cases} 0, & k_p = 2n, \quad j_p = 2m + 1, \\ \frac{2l_2 \sqrt{l_1 l_2}}{\pi^2 k_p j_p \left(1 + \frac{h^2}{24} \left(\frac{(\pi k_p l_2)^2 + (\pi j_p l_1)^2}{(l_1 l_2)^2} \right) \right)}, & k_p = 2n + 1, \quad j_p = 2m, \\ \frac{2\sqrt{l_1 l_2} (2a_2 - l_2)}{\pi^2 k_p j_p \left(1 + \frac{h^2}{24} \left(\frac{(\pi k_p l_2)^2 + (\pi j_p l_1)^2}{(l_1 l_2)^2} \right) \right)}, & k_p = 2n + 1, \quad j_p = 2m + 1, \end{cases}$$

$$g_{k_p j_p} = \begin{cases} \frac{-2l_1 \sqrt{l_1 l_2}}{\pi^2 k_p j_p \left(1 + \frac{h^2}{24} \left(\frac{(\pi k_p l_2)^2 + (\pi j_p l_1)^2}{(l_1 l_2)^2} \right) \right)}, & k_p = 2n, \quad j_p = 2m + 1, \\ 0, & k_p = 2n + 1, \quad j_p = 2m, \\ \frac{2\sqrt{l_1 l_2} (l_1 - 2a_1)}{\pi^2 k_p j_p \left(1 + \frac{h^2}{24} \left(\frac{(\pi k_p l_2)^2 + (\pi j_p l_1)^2}{(l_1 l_2)^2} \right) \right)}, & k_p = 2n + 1, \quad j_p = 2m + 1, \end{cases}$$

$(k, j \in \mathbb{N}^2), \quad p = \overline{1, 9}$.

Выберем следующие значения механических параметров:

$$l_1 = 1, \quad l_2 = \pi, \quad \alpha = 1, \quad a_1 = 1, \quad a_2 = -1, \quad h = 0,01.$$

Найдем значения собственных частот $\beta_{k_p j_p}$:

$$\beta_{k_1 j_1} = \frac{\pi^2 + 1}{\sqrt{1 + \frac{\pi^2 + 1}{240000}}} \approx 10,869; \quad \beta_{k_1 j_2} = \frac{\pi^2 + 4}{\sqrt{1 + \frac{\pi^2 + 4}{240000}}} \approx 13,869;$$

$$\beta_{k_1 j_3} = \frac{\pi^2 + 9}{\sqrt{1 + \frac{\pi^2 + 9}{240000}}} \approx 18,869; \quad \beta_{k_2 j_1} = \frac{4\pi^2 + 1}{\sqrt{1 + \frac{4\pi^2 + 1}{240000}}} \approx 40,475;$$

$$\beta_{k_2 j_2} = \frac{4(\pi^2 + 1)}{\sqrt{1 + \frac{\pi^2 + 1}{60000}}} \approx 43,474; \quad \beta_{k_2 j_3} = \frac{4\pi^2 + 9}{\sqrt{1 + \frac{4\pi^2 + 9}{240000}}} \approx 48,474;$$

$$\beta_{k_3 j_1} = \frac{9\pi^2 + 1}{\sqrt{1 + \frac{9\pi^2 + 1}{240000}}} \approx 89,809; \quad \beta_{k_3 j_2} = \frac{9\pi^2 + 4}{\sqrt{1 + \frac{9\pi^2 + 4}{240000}}} \approx 92,808;$$

$$\beta_{k_3 j_3} = \frac{9(\pi^2 + 1)}{\sqrt{1 + \frac{9(\pi^2 + 1)}{240000}}} \approx 97,807.$$

Для иллюстрации эффективности оптимального управления, полученного в утверждении 1, рассмотрим подсистему системы (31) с тремя степенями свободы. Выберем среди приведенных выше собственных значений три наименьших

$$0 < \beta_{k_1 j_1} < \beta_{k_1 j_2} < \beta_{k_1 j_3}$$

и введем обозначения $(k_1, j_1) = (1, 1)$ для $i = 1$; $(k_2, j_2) = (1, 2)$ для $i = 2$; $(k_3, j_3) = (1, 3)$ для $i = 3$. Тогда частоты $\beta_{k_i j_i}$ будут следующими:

$$\beta_{k_1 j_1} \approx 10.869, \quad \beta_{k_2 j_2} \approx 13.869, \quad \beta_{k_3 j_3} \approx 18.869.$$

Рассмотрим задачу оптимального управления для подсистемы системы (31), соответствующую трем модам колебаний

$$\dot{x}_{k_p j_p} = A_{k_p j_p} x_{k_p j_p} + B_{k_p j_p} u(t), \quad p = \overline{1, 3}, \quad (32)$$

с функционалом качества

$$J = \int_0^1 \{u_1^2(t) + u_2^2(t)\} dt \rightarrow \min \quad (33)$$

и краевыми условиями

$$x_{k_p j_p}^1 = \begin{pmatrix} 0 \\ 0 \end{pmatrix}, \quad x_{k_1 j_1}^0 = \begin{pmatrix} 1 \\ 0 \end{pmatrix}, \quad x_{k_2 j_2}^0 = x_{k_3 j_3}^0 = \begin{pmatrix} 0 \\ 0 \end{pmatrix}. \quad (34)$$

Найдем коэффициенты $q_{k_p j_p}^0$ и $p_{k_p j_p}^0$, подставив значения $\beta_{k_p j_p}$, $\varphi_{k_p j_p}$, $g_{k_p j_p}$, $\xi_{k_p j_p}^0$, $\xi_{k_p j_p}^1$, $\eta_{k_p j_p}^0$ и $\eta_{k_p j_p}^1$ в линейную систему (30):

$$\begin{aligned} p_{k_1 j_1}^0 &\approx -1,291, & q_{k_1 j_1}^0 &\approx 0,071, \\ p_{k_2 j_2}^0 &\approx -0,848, & q_{k_2 j_2}^0 &\approx -3,141, \\ p_{k_3 j_3}^0 &\approx 1,242, & q_{k_3 j_3}^0 &\approx 0,750. \end{aligned}$$

С помощью выражения (25) найдем оптимальное управление системы. Для выбранных частот функции управления будут такими:

$$\begin{aligned} \widehat{u}_1(t) &= \varphi_{k_1 j_1} (q_{k_1 j_1}^0 \cos(\beta_{k_1 j_1} t) - p_{k_1 j_1}^0 \sin(\beta_{k_1 j_1} t)) + \varphi_{k_2 j_2} (q_{k_2 j_2}^0 \cos(\beta_{k_2 j_2} t) - \\ &- p_{k_2 j_2}^0 \sin(\beta_{k_2 j_2} t)) + \varphi_{k_3 j_3} (q_{k_3 j_3}^0 \cos(\beta_{k_3 j_3} t) - p_{k_3 j_3}^0 \sin(\beta_{k_3 j_3} t)), \end{aligned}$$

$$\begin{aligned} \widehat{u}_2(t) &= g_{k_1 j_1} (q_{k_1 j_1}^0 \cos(\beta_{k_1 j_1} t) - p_{k_1 j_1}^0 \sin(\beta_{k_1 j_1} t)) + g_{k_2 j_2} (q_{k_2 j_2}^0 \cos(\beta_{k_2 j_2} t) - \\ &- p_{k_2 j_2}^0 \sin(\beta_{k_2 j_2} t)) + g_{k_3 j_3} (q_{k_3 j_3}^0 \cos(\beta_{k_3 j_3} t) - p_{k_3 j_3}^0 \sin(\beta_{k_3 j_3} t)). \end{aligned}$$

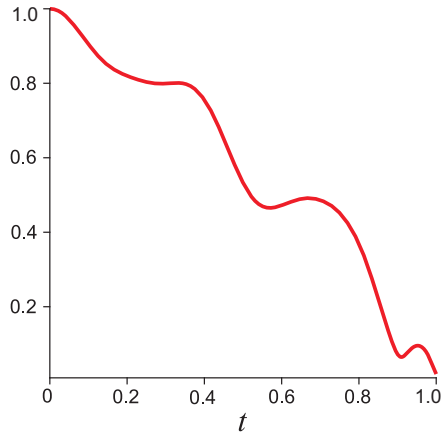


Рис. 2. График нормы решения $\|x(t)\|$.

Путем численного интегрирования найдем решение системы (31) с начальными условиями

$$x_{k_1 j_1}^0 = \begin{pmatrix} 1 \\ 0 \end{pmatrix}, \quad x_{k_2 j_2}^0 = \dots = x_{k_9 j_9}^0 = \begin{pmatrix} 0 \\ 0 \end{pmatrix},$$

соответствующее управлению $\widehat{u}(t)$ в виде

$$x(t) = (x_{k_1 j_1}, x_{k_2 j_2}, x_{k_3 j_3}, x_{k_4 j_4}, x_{k_5 j_5}, x_{k_6 j_6}, x_{k_7 j_7}, x_{k_8 j_8}, x_{k_9 j_9})^T.$$

Из рис. 2 видно, что оптимальное управление, соответствующее подсистеме с тремя низкочастотными модами, может быть использовано для приближенного решения двухточечной задачи управления системой (31) с девятью модами. График нормы решения $\|x(t)\|$ системы (31) приведен на рис. 2 для $t \in [0, 1]$.

Выводы. В работе рассмотрена математическая модель пластины Кирхгофа с учетом вращательного движения ее поперечного сечения. Данная модель является уточнением модели работы [3]. Для уточненной модели Кирхгофа была получена система обыкновенных дифференциальных уравнений, описывающая колебания с конечным числом мод. Решена задача оптимального управления модели с явным заданием семейства управлений для любого числа мод колебаний. Результаты численного интегрирования подтверждают эффективность предложенных управлений для двухточечной задачи.

Представляет дальнейший интерес рассмотрение задачи управления моделью пластины Кирхгофа с бесконечным числом степеней свободы.

1. Жилин П.А. О теориях пластин Пуассона и Кирхгофа с позиций современной теории пластин // Изв. РАН. Механика твердого тела. – 1992. – № 3. – С. 48-64.
2. Lagnese J.E., Leugering G. Controllability of Thin Elastic Beams and Plates // The control handbook (W.S. Levine ed.). – Boca Raton: CRC Press. – IEEE Press, 1996. – P. 1139-1156.
3. Зуев А.Л., Новикова Ю.В. Малые колебания пластины Кирхгофа с двумерным управлением // Механика твердого тела. – 2011. – Вып. 41. – С. 187-198.
4. Zuyev A. Approximate Controllability of a Rotating Kirchhoff Plate Model // Proc. 49-th IEEE Conf. on Decision and Control. – Atlanta (USA), 2010. – P. 6944-6948.
5. Понтрягин Л.С., Болтянский В.Г., Гамкрелидзе Р.В., Мищенко Е.Ф. Математическая теория оптимальных процессов. Изд. 4-е. – М.: Наука, 1983. – С. 393.

A.L. Zuyev, Yu.V. Novikova

Optimal control of the Kirchhoff plate model

A mathematical model of the Kirchhoff plate with the rotational inertia of its cross section is considered. For such a model, a system of ordinary differential equations with finite numbers of modal coordinates is derived and the optimal control problem with a quadratic cost is solved. Results of numerical integration of a two-point problem with such a control are presented.

Keywords: *Kirchhoff plate, eigen forms, optimal control problem, maximum principle.*

О.Л. Зуєв, Ю.В. Новікова

Оптимальне керування моделлю пластини Кірхгофа

Розглянуто математичну модель пластини Кірхгофа з урахуванням інерції обертання її перетину. Для такої моделі отримано систему звичайних диференціальних рівнянь зі скінченною кількістю модальних координат та розв'язано задачу оптимального керування з квадратичним критерієм якості. Також наведено результати чисельного інтегрування двочислової задачі при отриманому керуванні.

Ключові слова: *пластина Кірхгофа, власні форми, задача оптимального керування, принцип максимуму.*

Ин-т прикл. математики и механики НАН Украины
al_zv@mail.ru, yuliya.novikova.88@mail.ru

Получено 25.06.12